

*Ecole d'Automne d'Automatique de Douz, EAA'06*

# Systemes à retards: Identifiabilité et Identification

Lotfi Belkoura

LAGIS (CNRS UMR 8146),

Projet ALIEN INRIA-Futurs,

Université des Sciences et Technologies de Lille, France,

`lotfi.belkoura@univ-lille1.fr`

- 1 Motivations et modèles
- 2 Distributions et convolutions
- 3 Analyse d'identifiabilité
- 4 Identification
- 5 Perspectives

# Motivations

## Quelques modèles de SàR

- Bien qu'étudiés de longue date (Euler, 1740), l'exigence de modèles performants a suscité un regain d'intérêt pour les Systèmes à Retards.
- Dans un cadre général, les systèmes retardés peuvent être décrits par une **équation différentielle fonctionnelle** de la forme:

$$\begin{aligned} \dot{x}(t) &= f(t, x_t, u_t), & x_t &= x(t + \theta), \quad -h \leq \theta \leq 0, \\ x_0 &= \varphi & & \text{fonction à support } \subset [-h, 0]. \end{aligned}$$

La dimension de la condition initiale les classe dans la catégorie des systèmes de **dimension infinie**.

- Dans un contexte linéaire et stationnaire, et dans un but d'analyse ou de synthèse, plusieurs représentations (modèles) peuvent être envisagées.

# Cadre algébrique

Modèles sur anneaux d'opérateurs

[Morse,76 - Sontag,76 - Fliess,98,...]

- Modèles basés sur l'opérateur de retard  $\nabla z(t) = z(t - h)$  et sur des matrices polynomiales  $A(\nabla), B(\nabla)$ ,

$$\begin{aligned}\dot{x}(t) &= A(\nabla)x(t) + B(\nabla)u(t), \\ x(0) &= x_0 \in \mathbb{R}^n.\end{aligned}$$

- Description basée sur la notion de générateurs  $\Lambda = [x, u] = [\omega]$  (trajectoires) soumis à des relations

$$P_\Lambda\left(\frac{d}{dt}, \nabla\right)\omega = 0, \quad P_\Lambda\left(\frac{d}{dt}, \nabla\right) = \left[ \frac{d}{dt}I_n - A(\nabla) \mid B(\nabla) \right].$$

- ▲ Puissance du calcul algébrique pour l'analyse et la synthèse de lois de commande,
- ▼ "réelle" condition initiale, commensurabilité, retards distribués dans un anneau particulier (bien que large), pas de retards variables.

# Cadre fonctionnel I

Modèles de dimension infinie

[Delfour & Mitter,72- Manitius & Triggiani,78,...]

Modèles dont l'état  $\bar{x}(t) = (x(t), x_t)$  est défini dans un **espace de Hilbert**  
 $M_2 \equiv \mathbb{R}^n \times L_2([-h, 0], \mathbb{R}^n)$ ,

$$\begin{aligned}\dot{\bar{x}}(t) &= A\bar{x}(t) + B\bar{u}(t), \\ \bar{x}(0) &= (x(0), \varphi) \in M_2.\end{aligned}$$

Exemple d'opérateur:  $A\bar{x}(t) = (A_0x(t) + A_1x_t(-h), \frac{dx_t(\theta)}{d\theta})$

- ▲ Représentation unifiée et générale, retards ponctuels ou distribués quelconques, C.I. bien représentée, extension possible aux retards variables,
- ▼ Manipulations un peu lourdes, lois de commande distribuées ( $\Rightarrow$  pb d'implémentation).

# Cadre fonctionnel II

## Modèles basés sur la convolution

[Batos,84 - Yamamoto,89,...]

Pas de notion d'état (mais de solution), et description basée sur des opérateurs  $P$  et  $Q$  vus comme des **distributions à support compact** (espace noté  $\mathcal{E}'$ )

$$P * x = Q * u + \pi(P * \varphi),$$

Exemple d'opérateur:  $P = \delta' - A_0\delta - A_1\delta_h$

Opérateur de troncature:  $\pi(P * \varphi) = \varphi(0)\delta - A_1\varphi(-h + \theta)$

- ▲ Notion de support adaptée aux SàR, unique équation englobant la contribution de la C.I., nombreuses propriétés (ordre, support, pb d'inversion) dans le cadre des distributions,
- ▼ Pas de retards variables, cadre non (encore assez) exploité dans une perspective de synthèse (commande).

# Les distributions

## Définition et manipulations de base

### Définition (Distributions)

On appelle *distribution* sur  $\Omega$  (d'espace noté  $\mathcal{D}'(\Omega)$ ) toute **forme linéaire et continue** sur l'espace  $\mathcal{D}(\Omega)$  des fonctions  $C^\infty$  à support compact dans  $\Omega$ .

Si  $T \in \mathcal{D}'(\Omega)$ , on note  $\langle T, \varphi \rangle$  sa valeur sur la fonction  $\varphi \in \mathcal{D}(\Omega)$ . On distingue souvent deux classes de distributions,

- Les distributions **régulières** définies par une fonction  $f$ , (notée ici  $[f]$ ) et pour lesquelles:

$$\mathcal{D}'(\Omega) \ni [f] = \int_{\Omega} f(x)\varphi(x)dx = \langle f, \varphi \rangle, \quad \forall \varphi \in \mathcal{D}(\Omega)$$

- Les distributions **singulières** telles que la distribution de Dirac en un point  $a$ ,

$$\delta_a = \varphi(a) = \int_{\Omega} \varphi(x)\delta(x-a)dx, \quad \forall \varphi \in \mathcal{D}(\Omega)$$

# Les distributions

## Définition et manipulations de base

### Définition (Dérivation des distributions)

Par définition, la dérivée  $DT$  de  $T$  s'écrit:  $\langle DT, \varphi \rangle = -\langle T, \varphi' \rangle \quad \forall \varphi \in \mathcal{D}(\Omega)$

Ainsi toute distribution est indéfiniment dérivable.

- Pour une fonction **continûment dérivable**, et par intégration par parties, on établit aisément qu'à  $Df$  correspond la dérivée usuelle  $f'$ .

$$\langle Df, \varphi \rangle = - \int_{\Omega} f(x) \varphi'(x) dx = \int_{\Omega} f'(x) \varphi(x) dx, \quad \forall \varphi \in \mathcal{D}(\Omega)$$

- Pour une fonction continue sauf en un point  $a$  de **discontinuité**  $\sigma_a = f(a+) - f(a-)$ , la même intégration par parties conduit à (formule des sauts):

$$Df = f' + \sigma_a \delta_a.$$

- Pour la dérivée de Dirac en  $a$ ,  $D\delta_a = -\langle \delta_a, \varphi' \rangle = \varphi'(a)$ .

# Les distributions

## Définition et manipulations de base

### Définition (Convolution des distributions)

- Pour  $T \in \mathcal{D}'(\Omega)$  et  $\varphi \in \mathcal{D}(\Omega)$  on définit le produit de convolution par  $(T * \varphi)(x) = \langle T(y), \varphi(x - y) \rangle$ ,  $x \in \mathbb{R}$
- Pour  $T \in \mathcal{D}'(\Omega)$  et  $V \in \mathcal{D}'(\Omega)$   $T * V$  est par définition l'unique élément vérifiant:  $(T * V) * \varphi = T * (V * \varphi)$

**Intérêt pratique:** De nombreuses opérations usuelles sont des convolutions:

- **Dérivation:**  $T' = \delta' * T$ ,
- **Translation:**  $T(t - \tau) = \delta_\tau * T$ ,
- **Intégration**  $\int T = H * T$  lorsque  $T$  est une fonction à support dans  $(0, \infty)$  et  $H \equiv$  échelon.

# Les distributions

## Définition et manipulations de base

### Définition (Support des distributions)

$\text{supp } T \equiv$  le complémentaire du plus grand ouvert  $\omega$  de  $\Omega$  tel que la restriction de  $T$  à  $\omega$  soit nulle

Ainsi  $\text{supp } \delta_a = \{a\}$  tandis que pour une fonction continue,  $\text{supp } f$  coïncide avec la notion usuelle de support.

- Application: une **ODE** telle  $\dot{x} = ax + bu$ , avec CI nulles se récrit

$$\underbrace{(\delta' - a\delta)}_P * x = \underbrace{(b\delta)}_Q * u \quad \text{avec} \quad \text{supp } P = \text{supp } Q = \{0\}$$

- Une **DDE** telle  $\dot{x} = ax(t - \tau) + bu$  se formule

$$\underbrace{(\delta' - a\delta_\tau)}_P * x = \underbrace{(b\delta)}_Q * u \quad \text{avec} \quad \text{supp } P = \{0, \tau\} \text{ et } \text{supp } Q = \{0\}$$

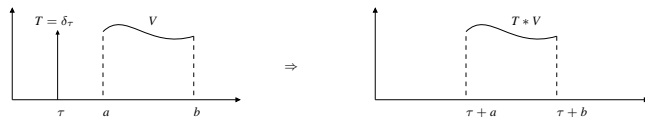
# Les distributions

## Définition et manipulations de base

### Propriété (Première propriété sur les supports)

$$\text{supp } T * V \subseteq \text{supp } T + \text{supp } V = \{x + y \text{ t.q. } x \in \text{supp } T, y \in \text{supp } V\}$$

### Exemple



Cette inclusion est en général au sens strict. Considérer par ex.  $T = \delta'_\tau$  et  $V = \text{cte}$  sur  $(a, b)$  pour lesquelles

$$\text{supp } T * V = \{\tau + a, \tau + b\} \neq [\tau + a, \tau + b]$$

# Les distributions

## Définition et manipulations de base

**Le cas de la CI:** Une prise en compte exacte de la CI pour les SAR peut se faire avec un opérateur de **troncature** [Yamamoto,89]:

$$\pi : f \longmapsto f|_{[0, \infty)}$$

notion différente en générale de celle de restriction. Par exemple:

$$\begin{aligned} \dot{x} &= ax(t - \tau) + bu, \quad x_0 = \varphi \quad \text{supp } \varphi \subset (-\tau, 0) \\ \text{se récrit } P * x &= Q * u + \pi(P * \varphi), \quad \text{avec } P = \delta' - a\delta_\tau, \quad Q = b\delta \\ \text{et } P * \varphi &= \delta_{-\tau}\varphi(-\tau) + [\varphi'] - \delta\varphi(0) - a\delta_\tau * \varphi, \\ \Rightarrow \pi(P * \varphi) &= -(\delta\varphi(0) + a\delta_\tau * \varphi) \in M_2 \equiv \mathbb{R} \times L_2([0, \tau], \mathbb{R}) \end{aligned}$$

On retrouve la paire point  $\times$  fonction de l'espace  $M_2$  utilisée dans l'approche fonctionnelle pour définir l'état d'un système.

# Identifiabilité

## Introduction

- **La modélisation** consiste à proposer une loi d'évolution du système  
⇒ structure accompagnée de paramètres, en nombre fini ou non.
- **L'identifiabilité** consiste à s'assurer qu'il est possible d'estimer ces paramètres à partir des données entrées sorties,
  - en théorie (injectivité du modèle),
  - en pratique (pour des entrées spécifiques).
- **Travaux antérieurs:** Peu de travaux ont porté sur l'identifiabilité des SàR, dont [Nakagiri et al., 95], et [Lunel, 97 & 00] dans un cadre fonctionnel et des régimes autonomes (systèmes sans entrée) ⇒ conditions basées sur le spectre de dimension infinie.

# Identifiabilité

## Formulation du problème

**Cadre de l'analyse:** On se situe dans le formalisme des distributions avec des descriptions entrées/sorties ou comportementales sous la forme:

$$P * x = Q * u, \Leftrightarrow R * \omega = 0, \quad R = [P, -Q], \quad \omega = (x, u)^t$$

[approche comportementale].

**Exemple:** (avec la notation  $\pi = H(t) - H(t - 1)$ )

$$\dot{x}_1(t) = x_1(t) + \int_{-1}^0 x_2(t + \theta) d\theta, \quad \rightarrow \quad (\delta' - \delta) * x_1 - \pi * x_2 = 0,$$

$$\dot{x}_2(t) = x_1(t - 1) + x_2(t) + \int_{-1}^0 u(t + \theta) d\theta. \quad \rightarrow \quad (\delta' - \delta) * x_2 - \delta_1 * x_1 - \pi * u = 0.$$

$$\underbrace{\left[ \begin{array}{cc|c} \delta' - \delta & -\pi & 0 \\ -\delta_1 & \delta' - \delta & -\pi \end{array} \right]}_R * \underbrace{\left[ \begin{array}{c} x_1 \\ x_2 \\ u \end{array} \right]}_\omega = 0.$$

# Identifiabilité

## Formulation du problème

**Définition:** Etant donné un modèle régi par  $\hat{P} * \hat{x} = \hat{Q} * u$ , le système décrit par  $P * x = Q * u$  sera dit identifiable sur  $\mathcal{I} = [0, T]$  s'il existe une entrée  $u$  telle que  $P = \hat{P}$  et  $Q = \hat{Q}$  résulte de  $x = \hat{x}$  sur  $\mathcal{I}$ .

- **Pas de forme explicite** imposée aux opérateurs, mais des contraintes liées uniquement à l'ordre et au support des opérateurs + normalisation.

$$\text{ord } P = N, \quad \text{conv } R = [0, h], \quad P(0) = I_n.$$

- La contrainte sur  $h$  (retard max. fixé) peut être relaxée pour des retards ponctuels.
- L'analyse d'identifiabilité de la C.I. peut être menée avec les mêmes outils [Belkoura 03].

# Outils sur les distributions

## Ordre d'une distribution

[Yamamoto,89, Zemanian 65.]

Une notion générale d'ordre ( $\geq 0$  et  $< 0$ ) est introduite, au même titre que  $s$  et  $s^{-1}$  définissent les TL de distributions d'ordre 1 et -1.

**Définition:** Une distribution est d'ordre  $r > 0$  si elle agit continûment sur les fonctions de classe  $C^r$  et non  $C^{r-1}$ . Une fonction  $\psi$  est d'ordre  $-r$  si  $r$  est le plus petit entier tel que  $D^r \psi$  soit une mesure.

**Exemples:**  $\text{ord}(\delta^{(2)}) = 2,$   $\text{ord}(H(t).t) = -2.$

### Théorème (Y.Yamamoto, 89)

$$\text{ord}(P^{-1}) = -\text{ord}(P) \Rightarrow \text{ord}(P * Q) = \text{ord } P + \text{ord } Q, \quad \forall Q.$$

**Exemple:**  $P = \delta' I + \sum_{i=0}^N A_i \delta_{h_i} + \sum_{i=1}^N A_{-i} \delta'_{h_i} + A_c(\theta)$

# Outils sur les distributions

## Les distributions inversibles

[L.Ehrenpreis 60, L. Hörmander 90]

**Le problème de la division:** Dans quelle mesure une fonction entière représente la TL d'une distribution à support compact [ $\mathcal{O} \equiv$  fonctions entières,  $\mathcal{O} \supset E' \equiv$  TL de  $\mathcal{E}'$ ].

**Définition:**  $u \in \mathcal{E}'$  est inversible (au sens d'Ehrenpreis) pour  $\mathcal{D}'$  si l'application  $\mathcal{D}' \ni v \rightarrow u * v \in \mathcal{D}'$  est surjective.

### Théorème (Ehrenpreis, 60)

$u \in \mathcal{E}'$  est inversible  $\Leftrightarrow$  pour tout  $g \in \mathcal{O}$ , si  $TL(u).g \in E'$ , alors  $g \in E'$ .

**Exemples:**  $u \in C_0^\infty$  : non inversible, ( $\exists v$  t.q.  $u * v = \delta$ ),  
 $u$  avec support discret: inversible.

# Outils sur les distributions

## Le Théorème des supports

[Titchmarsh-Lions]

**Le Théorème des supports:** Dans la composition de deux opérateurs à retards, il permet de déterminer dans quelle mesure les "mémoires s'additionnent"<sup>1</sup>. Il s'énonce dans le cas scalaire:

$$\text{conv } u * v = \text{conv } u + \text{conv } v, \quad u, v \in \mathcal{E}'.$$

Une formulation analogue peut être obtenue dans le cas matriciel, pour  $A \in (\mathcal{E}')^{n \times n}$  et  $B \in (\mathcal{E}')^{n \times \bullet}$ :

### Théorème (Belkoura, 05)

$$\text{conv det } A = n \text{ conv } A \Leftrightarrow \text{conv } A * B = \text{conv } A + \text{conv } B \quad \forall B$$

<sup>1</sup>conv  $X \equiv$  enveloppe convexe du support de  $X$ .

# Identifiabilité

## Méthode d'analyse

### Démarche

Unicité de la trajectoire sur un intervalle de temps fini



Unicité du transfert  $T = P^{-1} * Q$



Unicité des opérateurs  $P$  et  $Q$ .

### Outils

- Propriété des supports,
- Entrée suffisamment riche.
- Ordre d'une distribution,
- Distributions inversibles,
- Théorème des supports.

# Identifiabilité

## Intervalle d'analyse

La réduction de l'analyse à un intervalle de temps fini provient simplement de la propriété des supports:

$$\begin{aligned} \text{supp } A * B &\subseteq \text{supp } A + \text{supp } B = \{x + y; x \in \text{supp } A, y \in \text{supp } B\} \\ \text{supp } \det A &\subseteq n \text{ supp } A \end{aligned}$$

### Proposition

Pour une entrée  $u$  vérifiant  $\text{supp } u \subset [r_1, r_2]$  et la relation ci-dessous, l'égalité  $\hat{x} = x$  sur  $\mathcal{I} = [0, T]$  entraîne  $\hat{x} = x$  sur  $\mathbb{R}$ .

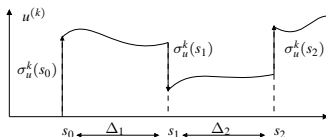
$$(n + 1)h \leq r_1 \leq r_2 \leq T - (n + 1)h.$$

C'est sur cet intervalle  $[r_1, r_2]$  que seront caractérisées les entrées dites suffisamment riches, c'est à dire assurant *par définition* l'égalité des transferts à partir de celle des trajectoires, soit:  $\hat{x} = x \Rightarrow \hat{P}^{-1} * \hat{Q} = P * Q$ .

# Identifiabilité

## Entrée suffisamment riche

Une des propriétés majeures des distributions consiste en la prise en compte des discontinuités dans les opérations de dérivation.



$$\Xi(s) = \sum_{i=0}^K [\sigma_u^{K-i}(s_0), \dots, \sigma_u^{K-i}(s_L)] s^i$$

discontinuités de  $(u, \dot{u}, \dots, u^{(K)})$

### Théorème (Belkoura, 03)

Toute entrée  $u \in (\mathcal{E}')^{p \times 1}$ , polynomiale par morceaux et satisfaisant les deux points ci-dessous est suffisamment riche.

1.  $\text{rang } \Xi(s) = p$ ,
2.  $\min \Delta_i > (n + 1)h$ .

# Identifiabilité

## Principal résultat

L'égalité de deux transferts  $T$  et  $\hat{T}$  est équivalente aux relations ci-dessous, de sorte que l'identifiabilité se réduit à la contrainte  $\alpha = \delta I_n$ .

$$\hat{P}^{-1}\hat{Q} = P^{-1}Q \rightarrow [\hat{P}, -\hat{Q}] = \hat{P} * P^{-1} * [P, -Q] \rightarrow \hat{R} = \alpha * R, \quad \alpha = \hat{P} * P^{-1}.$$

### Théorème (Belkoura, 05)

Si  $R = [P, -Q]$  vérifie les deux conditions ci-dessous, alors  $\text{supp } \alpha = \{0\}$ .

1.  $\text{rang } R(s) = n, \quad s \in \mathbb{C},$
2.  $\text{conv det } P = n \text{ conv } R.$

Si de plus  $P$  est de type normal<sup>2</sup>, alors le système considéré est identifiable.

- Conditions étroitement liées à celles de la contrôlabilité approchée,
- 1. et 2. montrent que toute autre description du système nécessite une mémoire de taille supérieure ou égale à  $h$ .

<sup>2</sup>vérifiant  $\text{ord } P^{-1} = -\text{ord } P$

# Identifiabilité

## Exemple

### Exemple avec retards discret et distribués

$$\begin{aligned} \dot{x}_1(t) &= x_1(t) + \int_{-1}^0 x_2(t + \theta) d\theta, \\ \dot{x}_2(t) &= x_1(t - 1) + x_2(t) + \int_{-1}^0 u(t + \theta) d\theta. \end{aligned} \quad R = \left[ \begin{array}{cc|c} \delta' - \delta & -\pi & 0 \\ -\delta_1 & \delta' - \delta & -\pi \end{array} \right],$$

- ① Ce système admet la représentation  $R * \omega = 0$  avec  $\omega = (x_1, x_2, u)^T$ . Avec  $\pi(t) = H(t) - H(t - 1)$ , il apparaît clairement que  $\text{conv } R = [0, 1]$ . Par ailleurs

$$\det P = \delta''' - 2\delta' + \delta - \delta_1 * \pi, \longrightarrow \text{conv } \det P = [0, 2] = [0, 1] + [0, 1]$$

- ② La controllabilité spectrale est aisément vérifiée en considérant, dans  $R(s)$ , les colonnes 2 et 3 pour  $s \neq 0$  et les colonnes 1 et 2 pour  $s = 0$ . Ainsi,  $\text{rang } R(s) = 2$ , et le système est identifiable.

$$R(s) = \left[ \begin{array}{ccc} s - 1 & -(e^{-s} - 1)/s & 0 \\ -e^{-s} & s - 1 & -(e^{-s} - 1)/s \end{array} \right].$$

# Identifiabilité

## La cas discret

[Orlov & al,03,...]

### Le cas des retards discrets

En se basant toujours sur des propriétés de non régularité des entrées et des réponses, un **résultat** plus simple et **indépendant de  $d$  et de  $N$**  peut être obtenu pour les systèmes régis par:

$$\dot{x}(t) = \sum_{i=0}^N A_i x(t - i.d) + B_i u(t - i.d),$$

et pour lesquels:  $P = \delta'I - F = \delta'I + \sum_{i=0}^N A_i \delta_{i,d}$ ,  $Q = \sum_{i=0}^N B_i \delta_{i,d}$ .

▷ Matrice de Kalman:  $C = [Q, FQ, \dots, F^{n-1}Q]$

#### Théorème (Orlov & al, 03)

**Identifiabilité**  $\Leftrightarrow \exists s \in \mathbb{C}$  tel que  $\text{rang } C(s) = n$   
 $\Leftrightarrow$  **controllabilité faible**. [J.F. Lafay & al. 96]

# Identifiabilité

## La cas discret

[Orlov & al,03,...]

### Le cas des retards discrets

Dans ce cas (retards commensurables), et de manière équivalente, nous pouvons également former, en posant  $\nabla = e^{-d.s}$ ,

$$F(\nabla) = \sum_{i=0}^N A_i \nabla^i, \quad Q(\nabla) = \sum_{i=0}^N B_i \nabla^i,$$

et le système sera identifiable Ssi  $\text{rang } C(\nabla) = \text{rang}[Q(\nabla), \dots, F^{n-1}(\nabla)Q(\nabla)] = n$ .

#### Exemple:

$$\begin{aligned} \dot{x}_1 &= x_1 + x_2 + u(t-d) \\ \dot{x}_2 &= x_1 + x_2 - x_2(t-d) + u \end{aligned}$$

$$F(\nabla) = \begin{bmatrix} 1 & 1 \\ 1 & 1 - \nabla \end{bmatrix}, \quad Q(\nabla) = \begin{bmatrix} \nabla \\ 1 \end{bmatrix}$$

$C(\nabla) = [Q(\nabla), F(\nabla)Q(\nabla)] = \begin{bmatrix} \nabla & \nabla + 1 \\ 1 & 1 \end{bmatrix}$  est de rang 2 et le système est identifiable.

# Identification

## Introduction

- **Travaux antérieurs:** Dans le domaine "temps continu", l'identification des SàR est un sujet encore peu développé. Les quelques approches statistiques [Ren et al., 05], ou adaptatives [Orlov et al., 03] excluent toute perspective d'exploitation en ligne.
- **Technique adaptative:** On n'identifie pas directement les retards mais les coefficients associés.
- **Technique algébrique:** On identifie directement les retards par une méthode non asymptotique.

# Identification

## Technique adaptative

**Technique adaptative:** Consiste en une extension aux SAR des techniques usuelles. Les retards sont supposés connus et on cherche à identifier les matrices de coefficients associées  $A_i$ ,  $B_i$ .

$$\dot{x}(t) = \sum_{i=0}^r [A_i x(t - \tau_i) + B_i u(t - \tau_i)],$$

On utilise pour cela le **système adaptatif** ci dessous avec  $\Delta x = x - \hat{x}$ ,  $G$  de Hurwitz, des gains d'adaptation  $F_i$ ,  $\Phi_i$ , et  $P$  solution de  $G^T P + P G = -Q$  pour  $Q > 0$ .

$$\begin{aligned} \dot{\hat{x}}(t) &= \sum_{i=0}^r [\hat{A}_i(t)x(t - \tau_i) + \hat{B}_i(t)u(t - \tau_i)] - G\Delta x(t), \\ \dot{\hat{A}}_i(t) &= F_i P \Delta x(t) x^T(t - \tau_i), \quad \hat{A}_i(0) = \hat{A}_i^0, \\ \dot{\hat{B}}_i(t) &= \Phi_i P \Delta x(t) u^T(t - \tau_i), \quad \hat{B}_i(0) = \hat{B}_i^0 \end{aligned}$$

# Identification

## Technique adaptative

Sous des hypothèses d'identifiabilité des paramètres et d'entrée suffisamment riche, il est établi que

$$\Delta x \rightarrow 0, \quad \text{tandis que} \quad \hat{A}_i, \hat{B}_i \rightarrow A_i, B_i.$$

La preuve de ce résultat est basé sur les équations d'erreurs

$$\begin{aligned} \dot{e}(t) &= \sum_{i=0}^r A_i e(t - \tau_i), \\ \Delta \dot{x}(t) &= \sum_{i=0}^r \{ \Delta A_i [e(t - \tau_i) + z(t - \tau_i)] + \Delta B_i u(t - \tau_i) \} + G \Delta x(t), \\ \Delta \dot{A}_i(t) &= -F_i P \Delta x(t) [e(t - \tau_i) + z(t - \tau_i)]^T, \\ \Delta \dot{B}_i &= -\Phi_i P \Delta x(t) u^T(t - \tau_i), \quad i = 0, \dots, r \end{aligned}$$

avec  $e(t) = x(t) - z(t)$  et  $z(t)$  solution particulière à une entrée périodique, et sur la fonctionnelle de Lyapunov

$$\begin{aligned} V(e, \Delta x, \Delta A_0, \dots, \Delta B_l) &= \langle W e, e \rangle + \Delta x^T P \Delta x \\ &\quad + \sum_{i=0}^r [tr(\Delta A_i^T F_i^{-1} \Delta A_i) + tr(\Delta B_i^T \Phi_i^{-1} \Delta B_i)] \end{aligned}$$

et pour laquelle  $\dot{V}(t) = - \langle e_t, e_t \rangle - \Delta x^T(t) Q \Delta x(t)$ .

# Identification

## Technique adaptative

**Exemple:**  $\Sigma$  :  $\dot{x}(t) = a_0x(t) + a_1x(t - \tau_1) + b_0u(t)$ ,  $x, u \in \mathbb{R}$

avec  $a_0 = -1.5$ ,  $a_1 = 0.5$ ,  $b_0 = 1$ ,  $\tau_1 = 1$ . Le système adaptatif est régi par:

$$\dot{\hat{x}}(t) = \hat{a}_0x(t) + \hat{a}_1x(t - \tau_1) + \hat{b}_0u(t) + a\Delta x(t), \quad t \geq 0,$$

$$\dot{\hat{a}}_0 = \beta_0\Delta x(t)x^T(t), \quad \dot{\hat{a}}_1 = \beta_1\Delta x(t)x^T(t - \tau_1),$$

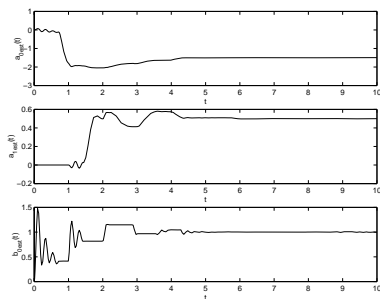
$$\dot{\hat{b}}_0 = \gamma_0\Delta x(t)u^T(t),$$

Les gains d'adaptations sont tous fixés à 8, l'entrée est une somme de signaux carrés d'amplitude 5 et de fréquences 0.5 et 0.7 Hz..

# Identification

Technique adaptative

## Exemple:(suite) Résultats en simulation



Le réglage des gains est ouvert et il est difficile d'obtenir une rapidité de convergence plus forte.

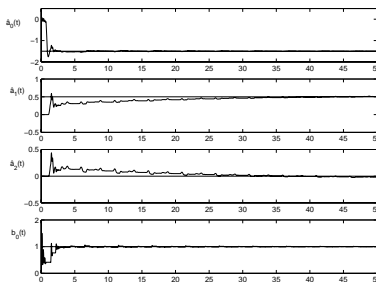
# Identification

## Technique adaptative

De part ses propriétés de robustesse, cette technique permet une **estimation indirecte** du retard.

**Exemple:**  $\dot{\hat{x}}(t) = \hat{a}_0 x(t) + \hat{a}_1 x(t - \hat{\tau}_1) + \hat{a}_2 x(t - \hat{\tau}_2) + \hat{b}_0 u(t) + a \Delta x(t),$

avec  $\hat{\tau}_1 = 1.01$  et  $\hat{\tau}_2 = 1.1$ , différents de ceux du processus.



Les coefficients les plus éloignés du "vrai" retard  $\tau_1 = 1$  tendent vers 0.

# Identification

## Technique algébrique

### Approche algébrique/fonctionnelle

- **Cadre de l'étude:** Reformulation et extension aux SàR d'une méthode algébrique initiée par [M. Fliess & H. Sira-Ramirez, 03].
- Non asymptotique (résultat en temps fini),
- Déterministe (ne s'appuyant pas sur des propriétés statistiques des bruits),
- Dans le domaine temporel, technique marquée par 3 étapes:  
Dérivation  $\rightarrow$  Multiplication  $\rightarrow$  Intégration.
- Extension possible à certaines situations non linéaires.

# Exemple simple et sans retard

Méthodes opérationnelle et fonctionnelle

Identification de la constante de temps d'un 1<sup>er</sup> ordre par une approche:

Opérationnelle  $(y(s), u(s))$

$$\Sigma \quad sy - ay = u + y_0$$

$$d/ds \rightarrow d(sy)/ds - a dy/ds = du/ds$$

$$\rightarrow a = \frac{d(sy)/ds - du/ds}{dy/ds}$$

$$1/s \rightarrow a = \frac{1/s[d(sy)/ds - du/ds]}{1/s[dy/ds]}$$

Fonctionnelle  $(y(t), u(t))$

$$\Sigma \quad \dot{y} - ay = u + y_0\delta$$

$$\times t \rightarrow t\dot{y} - aty = tu$$

$$\rightarrow a = \frac{t\dot{y} - tu}{ty}$$

$$\int \rightarrow a = \frac{\int_0^t (\theta\dot{y} - \theta u)d\theta}{\int_0^t \theta y d\theta}$$

- Intégration par parties:  $\int_0^t \theta\dot{y}(\theta)d\theta = ty - \int_0^t y(\theta)d\theta$ .
- Plus généralement, cette intégrale  $(1/s)$  peut être remplacée par un filtre  $H(s)$ .
- La formule donnant  $a$  est **non asymptotique** et valable pour presque tout  $t$ .

# Exemple sans retard (suite)

Méthodes opérationnelle et fonctionnelle

Formule alternative:

**Opérationnelle**  $(y(s), u(s))$

$$s_1 = s + \gamma, y_1 = y(s_1), u_1 = u(s_1)$$

$$\sum sy - ay = u + y_0$$

$$\begin{aligned} s + \gamma &\rightarrow s_1 y_1 - a y_1 = u_1 + y_0 \\ &\rightarrow a = \frac{[s_1 y_1 - s y] - [u_1 - u]}{y_1 - y} \end{aligned}$$

$$1/s \rightarrow a = \frac{1/s [s_1 y_1 - s y] - 1/s [u_1 - u]}{1/s [y_1 - y]} \int$$

**Fonctionnelle**  $(y(t), u(t))$

$$e = e^{-\gamma t}$$

$$\sum \dot{y} - ay = u + y_0 \delta$$

$$\begin{aligned} \times e &\rightarrow e \dot{y} - a e y = e u + y_0 \delta \\ &\rightarrow a = \frac{(1-e) \dot{y} - (1-e) u}{(1-e) y} \end{aligned}$$

$$\rightarrow a = \frac{\int_0^t (1-e) \dot{y} - (1-e) u}{\int_0^t (1-e) y}$$

- Intégration par parties:  $\int_0^t e \dot{y} = \gamma e y - \int_0^t e y$ .
- La multiplication par  $t$  précédente est remplacée par  $(1 - e^{-\gamma t})$ . Convergeant vers 1, cette dernière peut s'avérer plus avantageuse dans un contexte bruité.

## Exemple sans retard (suite)

Méthodes opérationnelle et fonctionnelle

- L'algorithme non asymptotique précédent est calculé **indépendamment** de la valeur **de la condition initiale**  $y_0$ .
- Outre la C.I., cet démarche reste valable en présence de **perturbations** dites **structurées** (constantes, polynomiales,...).

Exemple: la présence d'une perturbation constante  $\gamma(s) = \gamma_0/s$  dans l'équation de fonctionnement d'un système peut être annihilée observant que:

$$\frac{d}{ds}s\gamma(s) = 0.$$

- Le formalisme des distributions offre une plus large souplesse dans l'annihilation de signaux structurés, et en particulier pour les signaux **retardés**.

# Préliminaires

## Multiplication des distributions

L'annihilation de signaux structurés <sup>3</sup> (par ex. entrées, perturbations, C.I.) peut être réalisée via une combinaison de dérivations et multiplications (par des fonctions  $\alpha \in \mathcal{C}^\infty$ ).

### Théorème (Schwartz, 1966)

Si  $T$  a un support compact  $K$  et est d'ordre (nécessairement fini)  $m$ ,  $\alpha T = 0$  lorsque  $\alpha$  et ses dérivées d'ordre  $\leq m$  s'annulent sur  $K$ .

- Exemples:

$$\alpha \delta_\tau = \alpha(\tau) \delta_\tau, \quad \underbrace{(t - \tau)}_\alpha \underbrace{\delta_\tau}_T = 0, \quad \underbrace{t^2(t - \tau)}_\alpha \underbrace{(a\delta^{(1)} + b\delta_\tau)}_T = 0.$$

- Conséquence:** le terme  $\tau$  est passé du statut d'argument (dans  $T$ ) à celui d'argument et *coefficient* (dans  $\alpha T$ ).

<sup>3</sup>définition algébrique dans [Fliess & Ramirez, 03].

# Préliminaires

## Multiplication des distributions

### Quelques règles combinant convolution et multiplication

par  $t^n$  [avec  $z_i \equiv t^i y$ ]

$$t^n (S * T) = \sum_{k=0}^n C_n^k (t^k S) * (t^{n-k} T)$$

↓

$$t^3 y^{(2)} = -6 z_1 + 6 z_2^{(1)} - z_3^{(2)}$$

"pré-intégration" par parties

$$t \dot{y}(t - \tau) = \delta_\tau * (-z_0 + \tau z_0^{(1)} + z_1^{(1)})$$

"homogeneisation" des arguments

par  $e^{-\gamma t}$  [avec  $z \equiv e^{-\gamma t} y$  et  $\lambda = e^{\gamma \tau}$ ]

$$e^{-\gamma t} (S * T) = e^{-\gamma t} S * e^{-\gamma t} T$$

↓

$$e^{-\gamma t} y^{(2)} = \gamma^2 z + 2\gamma z^{(1)} + z^{(2)}$$

"pré-intégration" par parties

$$e^{-\gamma t} \dot{y}(t - \tau) = \lambda^{-1} \delta_\tau * (\dot{z} + \gamma z)$$

"homogeneisation" des arguments

# Premier exemple

## Identification du retard d'une entrée structurée

Réponse indicielle d'un 1<sup>er</sup> ordre avec C.I. et perturbation  $\gamma_0$  constante.

$$\dot{y} + ay = y(0) \delta + \gamma_0 H + bu(t - \tau)$$

- ①  $\frac{d}{dt}(\dot{y} + ay) = y(0) \delta' + \gamma_0 \delta + b \delta_\tau$ , dérivation ( $\rightarrow$  singularités)
- ②  $t^2(t - \tau) \times \left[ \frac{d}{dt}(\dot{y} + ay) \right] = 0$ , multiplication ( $\rightarrow$  annihilation)
- ③  $H^k * t^2(t - \tau) \times \left[ \frac{d}{dt}(\dot{y} + ay) \right] = 0$ . intégration ( $\rightarrow$  causalité)

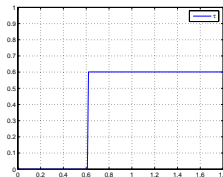
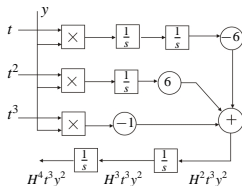
$$\tau = \frac{H^k * (t^3 y^{(2)} + a t^3 y^{(1)})}{H^k * (t^2 y^{(2)} + a t^2 y^{(1)})} \quad t > \tau.$$

Exemple:  $H^2 * t^3 y^{(2)} = H^2 * [-6z_1 + 6z_2^{(1)} - z_3^{(2)}] = -6 \int \int z_1 + 6 \int z_2 - z_3$ ,  $z_i = t^i y$

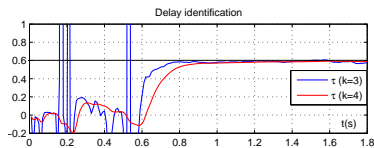
# Premier exemple

Identification du retard d'une entrée structurée

- Schéma (partiel) de réalisation et résultat en simulation:



- Contexte bruité: des filtres peuvent être substitués aux intégrateurs  $H^k$ .



# Cas d'une série de retards

## Identification du retard d'une entrée structurée

Une démarche analogue peut être envisagée si on suppose un retard incompressible  $\Delta$  d'une entrée retardée (de  $\tau_1, \tau_2, \dots$ ) et bloquée.

$$\text{Exemple: } \sum_{k=0}^2 a_i y^{(i)} = b \sum_{k=0}^{\infty} u_k \chi_k,$$

avec  $\chi_k$  fonction caractéristique ( $\tau_k + kT, \tau_{k+1} + (k+1)T$ ). **Dérivation,**

$$\begin{aligned} \sum_{k=0}^2 a_i y^{(i+1)} &= b \sum_{k=0}^{\infty} \sigma_k \delta_{h_k}, \\ \sum_{k=0}^2 a_i y^{(i+1)} &= b \sum_{k=0}^{\infty} \sigma_k \delta_{h_k}, \end{aligned}$$

avec  $\sigma_k$  discontinuités de  $u$  aux instants  $h_k = \tau_k + kT$ .

# Cas d'une série de retards

## Identification du retard d'une entrée structurée

Une démarche analogue peut être envisagée si on suppose un retard incompressible  $\Delta$  d'une entrée retardée (de  $\tau_1, \tau_2, \dots$ ) et bloquée.

$$\text{Exemple: } \sum_{k=0}^2 a_i y^{(i)} = b \sum_{k=0}^{\infty} u_k \chi_k,$$

avec  $\chi_k$  fonction caractéristique ( $\tau_k + kT, \tau_{k+1} + (k+1)T$ ). **Dérivation, multiplication** par  $t$  et  $t^2$

$$\begin{aligned} t \sum_{k=0}^2 a_i y^{(i+1)} &= b \sum_{k=0}^{\infty} h_k \sigma_k \delta_{h_k}, \\ t^2 \sum_{k=0}^2 a_i y^{(i+1)} &= b \sum_{k=0}^{\infty} h_k^2 \sigma_k \delta_{h_k}, \end{aligned}$$

avec  $\sigma_k$  discontinuités de  $u$  aux instants  $h_k = \tau_k + kT$ .

# Cas d'une série de retards

## Identification du retard d'une entrée structurée

Une démarche analogue peut être envisagée si on suppose un retard incompressible  $\Delta$  d'une entrée retardée (de  $\tau_1, \tau_2, \dots$ ) et bloquée.

$$\text{Exemple: } \sum_{k=0}^2 a_i y^{(i)} = b \sum_{k=0}^{\infty} u_k \chi_k,$$

avec  $\chi_k$  fonction caractéristique ( $\tau_k + kT, \tau_{k+1} + (k+1)T$ ). **Dérivation, multiplication** par  $t$  et  $t^2$  et **convolution** avec  $H^3$  conduisent aux identités:

$$\begin{aligned} D &:= H^3 * t \sum_{k=0}^2 a_i y^{(i+1)} = b \sum_{k=0}^{\infty} H^3 * h_k \sigma_k \delta_{h_k}, \\ N &:= H^3 * t^2 \sum_{k=0}^2 a_i y^{(i+1)} = b \sum_{k=0}^{\infty} H^3 * h_k^2 \sigma_k \delta_{h_k}, \end{aligned}$$

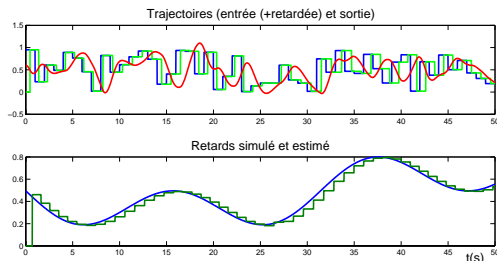
avec  $\sigma_k$  discontinuités de  $u$  aux instants  $h_k = \tau_k + kT$ . Si le support de  $H^3$  est contenu dans  $(0, \Delta)$ , une identification "locale" est possible. Ainsi, par exemple:

$$H(s) = \frac{1 - e^{-\Delta s/3}}{s} \Rightarrow \begin{array}{ll} N = D = 0 & \text{sur } \mathbb{R} \setminus (\tau_k, \tau_k + \Delta), \\ h_k = kT + \tau_k = N/D & \text{sur } (\tau_k, \tau_k + \Delta). \end{array}$$

# Cas d'une série de retards

## Identification du retard d'une entrée structurée

- La réalisation des  $H^3 * (t^{(j)} \times y^{(i)})$ , et donc de  $N$  et  $D$ , est toujours basé sur les formules de pré-intégration par parties.
- Exemple en simulation avec condition initiale non nulle, perturbation constante, et  $a_0 = 2, a_1 = 1, a_2 = 1, y(0) = 1.3, \dot{y}(0) = -2.3, \gamma_0 = 0.5, \Delta = 1$ .



Identification d'une série de retards.

- Dans un contexte bruité, fragilité relative de l'algorithme, la convergence de chaque estimation devant être assurée sur l'intervalle  $(0, \Delta)$

# Etude expérimentale (Feedback PT326)

## Identification simultanée des paramètres $\Theta$ et du retard $\tau$



La dynamique inconnue du processus nécessite une **identification simultanée** des paramètres et retard.

$$\sum : \quad a_2 y^{(2)} + a_1 y^{(1)} + y = b u(t - \tau) + y(0)\delta + \gamma_0 H$$

- 1  **$d/dt$**  : dans le cas d'une entrée structurée ( $u = \text{échelon}$ ), transforme le second membre en une distribution singulière de support  $\{0, \tau\}$ :

$$a_2 y^{(3)} + a_1 y^{(2)} + y^{(1)} = b \delta_\tau + y(0)\delta^{(1)} + \gamma_0 \delta$$

- 2  **$\times \alpha$** : Annihilation du second membre via la multiplication par une fonction  $\alpha$  t.q.  $\alpha(0) = \dot{\alpha}(0) = \alpha(\tau) = 0$  et choix:

$$\alpha = (1 - e^{-\gamma t})^2 (1 - \lambda e^{-\gamma t}) \quad \lambda = e^{-\gamma \tau},$$

ou  $\alpha = t^2(t - \tau).$

# Etude expérimentale (Feedback PT326)

Identification simultanée des paramètres  $\Theta$  et du retard  $\tau$



- ③  $\int \dots \int$ : Des intégrales itérées (ou différents filtres  $H_i$ ), permettent une **formulation spectrale** du problème

$$(A(t) - \lambda B(t)) \begin{pmatrix} a_2 \\ a_1 \\ 1 \end{pmatrix} = 0, \quad \text{avec} \quad \begin{cases} A_{i,j} = H^i (1 - e)^2 y^{(4-j)}, \\ B_{i,j} = H^i e(1 - e)^2 y^{(4-j)}. \end{cases}$$

Exemple de réalisation (Int. par parties):

$$H^1 * [(1 - e)^2 y^{(1)}] = z_0 - 2z_1 + z_2 + 2\gamma \int_0^t (z_2 - z_1), \quad z_i(t) = e^{i\gamma t} y(t).$$

Remarques:

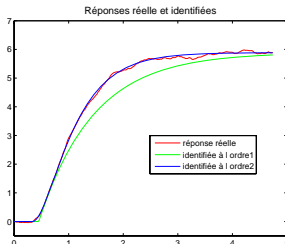
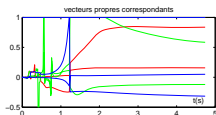
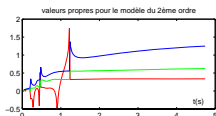
- Le gain statique n'est pas identifié par cette technique.
- Comme valeur propre (via  $\lambda = e^{-\gamma \tau}$ ), le retard peut être identifié indépendamment des paramètres  $\Theta = (a_2, a_1, 1)^t$ .

# Etude expérimentale (Feedback PT326)

Identification simultanée des paramètres  $\Theta$  et du retard  $\tau$



- Résolution du pb spectral (MATLAB et fonction polyeig) et comparaisons des réponses indicielles réelle et simulées sur la base des coefficients identifiés aux ordres 1 et 2.



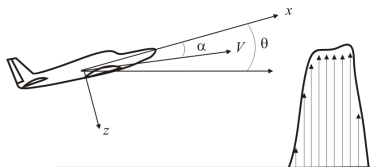
- Au modèle du second ordre correspond le transfert estimé:

$$G(s) \simeq \frac{5.9 e^{-0.34s}}{0.16 s^2 + 0.84 s + 1}$$

# Etude expérimentale

en collaboration avec l'ONERA

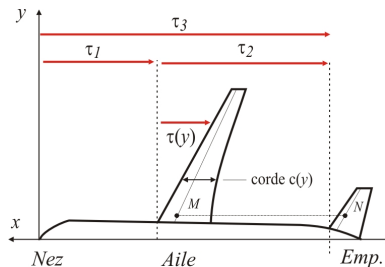
**Objectif** Modélisation et identification du modèle en vol turbulent.



$$\begin{aligned} m\dot{V} &= -mg \sin(\theta) - 1/2\rho SV^2 C_x, \\ mV\dot{\alpha} &= mg \cos(\theta) + mVq - 1/2\rho SV^2 C_z, \\ B\dot{q} &= 1/2\rho SIV^2 C_m, \\ \dot{\theta} &= q, \end{aligned}$$

**Apports** (1) Prise en compte des phénomènes instationnaires, du découpage Fuselage Aile Empennage et des retards induits dans le calcul des coefficients aérodynamiques  $C_x$ ,  $C_z$  et  $C_m$ .

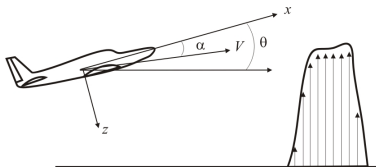
(2) Premiers résultats d'identification des modèles retardés obtenus.



# Etude expérimentale

en collaboration avec l'ONERA

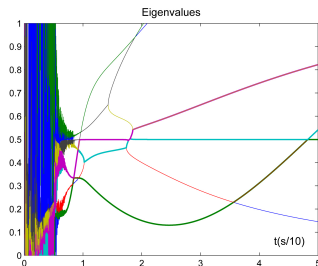
**Objectif** Modélisation et identification du modèle en vol turbulent.



$$\begin{aligned}
 m\dot{V} &= -mg \sin(\theta) - 1/2\rho SV^2 C_x, \\
 mV\dot{\alpha} &= mg \cos(\theta) + mVq - 1/2\rho SV^2 C_z, \\
 B\dot{q} &= 1/2\rho SIV^2 C_m, \\
 \dot{\theta} &= q,
 \end{aligned}$$

**Apports** (1) Prise en compte des phénomènes instationnaires, du découpage Fuselage Aile Empennage et des retards induits dans le calcul des coefficients aérodynamiques  $C_x$ ,  $C_z$  et  $C_m$ .

(2) Premiers résultats d'identification des modèles retardés obtenus.



# Etat retardé et/ou entrée non structurée

## Principe, limitation et exemple

- Les deux situations reposent sur la propriété de multiplication et convolution permettant de former des **arguments homogènes**.

Exemple: 
$$t y(t - \tau) = (t - \tau)y(t - \tau) + \tau y(t - \tau) = \delta_\tau * (ty + \tau y)$$

$$t \dot{y}(t - \tau) = \delta_\tau * (-z_0 + \tau z_0^{(1)} + z_1^{(1)}), \quad z_i = \dot{t}^i y.$$

- Limitation 1:** Dans le cas d'un système avec **état retardé**, la condition initiale est par nature *inconnue* (support  $\subset (-\tau, 0)$  avec  $\tau$  inconnu). Il en est de même lorsque l'**entrée** est **déjà active** à  $t = 0$ .
- Limitation 2:** un produit de convolution supplémentaire entre différentes composantes de la trajectoire accroît (dans l'état actuel des algorithmes) la sensibilité aux perturbations.

# Etat retardé et/ou entrée non structurée

Principe, limitation et exemple

## Exemple d'un second ordre bouclé

[notations:  $\Delta = u - y$ ,  $e = e^{-\gamma t}$ ,  $\Theta = (a_2, a_1, 1)^t$ ,  $\lambda = e^{-\gamma \tau}$ ]

$$\sum_{i=0}^2 a_i y^{(i)} = u(t - \tau) - y(t - \tau) = \delta_\tau * \Delta,$$

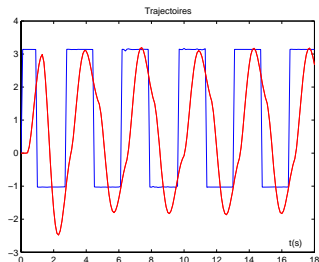
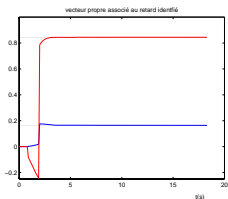
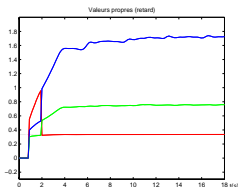
- 1 Multiplication:  $e \times \sum_{i=0}^2 a_i y^{(i)} = e \times (\delta_\tau * \Delta) = \lambda \delta_\tau * e\Delta,$
- 2 Convolution:  $([\Delta * ey^{(2)}, \dots, \Delta * ey] - \lambda [e\Delta * y^{(2)}, \dots, e\Delta * y]) \Theta = 0,$
- 3 Intégrations itérées  $\Rightarrow$  Pb aux valeurs/vecteurs propres.

# Etat retardé et/ou entrée non structurée

Validation en simulation

## Exemples en simulation

(identification simultanée des paramètres et retard)



Trajectoires et identification simultanée des paramètres et retard du système avec comme paramètres  $a_2 = 0.16$ ,  $a_1 = 0.84$ ,  $\tau = 0.34$ , et les filtres  $H_i(s) = \frac{1}{(s+1)^i}$ .

# Etat retardé et/ou entrée non structurée

Retour sur l'approche opérationnelle

Dans des cas simples, une formulation équivalente dans le domaine opérationnel peut être plus synthétique. Ainsi, pour l'exemple d'un intégrateur retardé,

$$\textcircled{1} : sy(s) = Ke^{-\tau s}u(s) \quad \Rightarrow \quad \textcircled{2} : (s + \gamma)y(s + \gamma) = Ke^{-\gamma\tau}e^{-\tau s}u(s + \gamma)$$

$$\frac{\textcircled{1}}{\textcircled{2}} \Rightarrow e^{-\gamma\tau} = \left(1 + \frac{\gamma}{s}\right) \frac{u(s)y(s + \gamma)}{u(s + \gamma)y(s)}.$$

$$e^{-\gamma\tau} = \frac{1}{(eu * y)(t)} \left[ (u * ey)(t) + \gamma \int_0^t (u * ey)(\theta) d\theta \right].$$

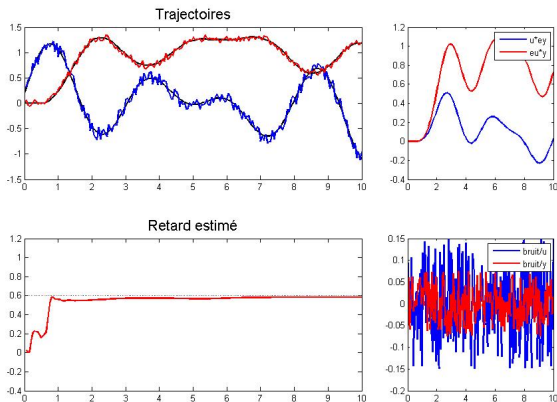
Afin d'éviter les singularités dues au passage par 0 du dénominateur, on peut élever au carré avant d'intégrer:

$$e^{-2\gamma\tau} = \frac{\int_0^t \left[ (u * ey)(\theta) + \gamma \int_0^\theta (u * ey)(\nu) d\nu \right]^2 d\theta}{\int_0^t (eu * y)^2(\nu) d\nu}.$$

# Etat retardé et/ou entrée non structurée

Retour sur l'approche opérationnelle

## Exemple en simulation (Identification du retard $\tau = 0.6s$ )



# PERSPECTIVES & CONCLUSION

# Verrous scientifiques

## Analyse numérique et filtrage

- Méthode efficace de **sélection en ligne** des bons paramètres via une formulation **redondante** avec  $A$  et  $B$   $m \times n$ ,  $m > n$ :

$$(A(t) - \lambda B(t))\Theta = 0, \quad (1)$$

"(1) has the awkward feature that most matrices have no eigenvalues at all, whilst for those that do, an infinitesimal perturbation will in general remove them<sup>4</sup>".

→ Notion de **pseudo-spectre**  $\Lambda_\epsilon = \{z \in \mathbb{C} : \|(A - \lambda B)\Theta\| \leq \epsilon, \|\Theta\| = 1\}$ .

- Problématique récente de **filtrage** au travers d'expressions de la forme:

$$H_k * [\alpha_i \times g_j], \quad i = 1, 2, j = 1, \dots, n, k = 1, \dots, m.$$

dans lesquelles  $H_k$  sont des filtres à déterminer,  $\alpha_i$  des fonctions  $C^\infty$  et  $g_j$  des termes dépendant des trajectoires du système.

<sup>4</sup>T.G.Wright & al., 01

# Verrous scientifiques

## Retards variables et bidirectionnels

- Identification de retards **bidirectionnels**: exemple d'un 1<sup>er</sup> ordre d'entrée  $u$  d'argument  $\varphi(t) = t - \tau_1(t)$ , et de mesure  $m$  d'argument  $\psi(t) = t - \tau_2(t)$ ,

$$\begin{cases} y + a\dot{y} = u \circ \varphi \\ m = y \circ \psi \end{cases} \Rightarrow m + (a/\dot{\psi}) \dot{m} = u \circ \varphi \circ \psi.$$

Un retard non constant sur la mesure ( $\dot{\psi} \neq 1$ )  $\Rightarrow$  caractère **non stationnaire** du Pb et question ouverte de l'**identifiabilité**.

# Systèmes non linéaires

Thèse dans le cadre de Robocoop et ALIEN (S. Riachy)

- L'extension à des situations **non linéaires** (par ex.  $m^{(k)}(y)$  substituée à  $y^{(k)}$ ) est immédiate, et la **dépendance explicite** des signaux structurés vis à vis du **temps** n'est pas requise.

$$\text{ex: } \ddot{y} + a_1 \dot{y} + a_0 \sin y = b \operatorname{sgn}(\dot{y}) + \varphi_0$$

- **Applications:** Identification et commande de pendules inversés avec prise en compte des modèles de frottements et des retards induits par les transmissions.

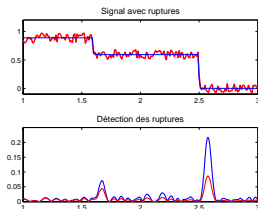


Utilisation de la technique *Alien* pour une identification des paramètres englobant les phénomènes de frottements secs.

# Détection de ruptures

## Applications au Diagnostic et aux Images

- Cette thématique consiste en la **détection** et la **localisation** en ligne des **variations brusques** d'un signal.
- Il est remarquable de noter que, *pour une entrée structurée, l'identification des retards n'est autre qu'une détection et localisation de ruptures.*



← Premiers essais de détection et localisation en ligne de ruptures.

Le cas de signaux non modélisés reste un problème ouvert (approximations,...?).

- Adaptée à leur contexte respectif (aspect multidimensionnel, filtres non causaux,...), cette technique peut trouver une application naturelle aux analyses d'images et à la détection de défauts.

## Quelques références

-  S.M.V. Lunel, Parameter identifiability of differential delay equations, *Int J. of Adapt. Control Signal Process.*, 2001, vol 15, 655–678,
-  L. Belkoura, Identifiability of systems described by convolution equations, *Automatica*, vol. 41, 2005, pp. 505-512.
-  M. Fliess, and H. Sira-Ramirez, An algebraic framework for linear identification, *ESAIM Contr. Optim. Cal. Variat.*, vol. 9, 2003, pp. 151-168.
-  L. Belkoura, Jean-Pierre Richard, Michel Fliess, On-line identification of systems with delayed inputs, *17th International Symposium on Mathematical Theory of Networks and Systems, MTNS06, July 24-28, Kyoto, Japan, 2006*,
-  J.-P. Richard, Time-delay systems: an overview of some recent advances and open problems, *Automatica*, vol. 39, 2003, pp. 1667-1694.
-  L. Schwartz, *Théorie des distributions* (2<sup>nd</sup> ed.), Hermann, Paris, 1966.